

МЕТОДИКА

Приклади застосування мікронадавчих методів в аналітичній хімії. Книга 2. Методи вимірювання концентрації іонів в ізольованих нейронах та клітинах. Ред. В. С. Григор'єв. Додаток до збірника наукових праць «Міжнародний симпозіум з проблем функціональної хімії та біохімії» (ІІІ). Допоміжний матеріал до збірника наукових праць «Міжнародний симпозіум з проблем функціональної хімії та біохімії» (ІІІ). Додаток до збірника наукових праць «Міжнародний симпозіум з проблем функціональної хімії та біохімії» (ІІІ).

УДК 577.088.5

ВИЗНАЧЕННЯ ВМІСТУ ҚАЛІЮ, НАТРІЮ І ҚАЛЬЦІЮ В ІЗОЛЬОВАНИХ НЕРВОВИХ КЛІТИНАХ З ДОПОМОГОЮ ІНТЕГРУЮЧОГО ПОЛУМ'ЯНОГО МІКРОСПЕКТРОФОТОМЕТРА

О. П. Волхонович

Лабораторія фізико-хімічних вимірювань Інституту фізіології ім. О. О. Богомольця
АН УРСР, Київ

Дані про концентрацію іонів калію, натрію і кальцію в ізольованих нейронах необхідні при вивченні ряду фізико-хімічних і метаболічних процесів, здійснюваних у цих клітинах. Для вимірювання концентрації іонів в окремих клітинах найбільш перспективний метод полум'яної мікроспектрофотометрії [1, 5]. Принцип його полягає в тому, що іони, які містяться в клітині, переводяться в збуджений стан при введенні в полум'я горілки, і при цьому реєструється емісійний спектр їх випромінення.

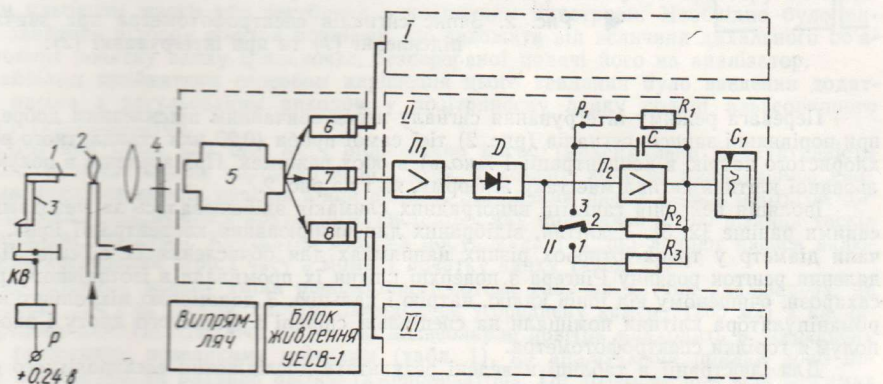


Рис. 1. Блок-схема інтегруючого полум'яного мікроспектрофотометра.
 $C = 0,1 \text{ мкФ}$, $R_1 = 200 \text{ ом}$, $R_2 = 1 \text{ ком}$, $R_3 = 4,3 \text{ мом}$.

Для вимірювання вмісту іонів калію, натрію і кальцію в ізольованих нейронах був застосований описаний раніше [4] чотириканальний мікроспектрофотометр. У зв'язку з введенням у нього режиму інтегрування сигналу схема приладу зазнала деяких змін, зв'язаних, в основному, з підсиленням сигналу на змінному струмі. Для цієї мети перед вхідною щілиною монохроматора встановлений модулятор світлового потоку 4 (рис. 1), який плаще з частотою 460 гц. Це дозволило одержувати з фотоелектронних помножувачів (ФЕП) корисний сигнал у вигляді імпульсів цієї ж частоти та відокремлювати його від повільно змінюваного в часі темнового струму ФЕП, який заважав роботі приладу в режимі інтегрування.

Оскільки електрофотометр має три одинакових канали електронної обробки сигналу (I, II, III), то на блок-схемі (рис. 1) наведений лише один II канал, два інші позначені пунктиром. Керування роботою операційного підсилювача здійснюється з допомогою перемикача Π і реле P . У положенні 1 перемикача Π операційний підсилювач працює в звичайному режимі підсилення сигналу, положення 2 — вимкнено. У положенні 3 операційний підсилювач працює в режимі інтегрування сигналу, конденсатор C — інтегруючий. Перед внесенням спіралі I з пробою в полум'я горілки 2 держак 3 відводиться в крайнє положення і замикає контакти кінцевого вимикача KV , який вимикає реле P .

Контакти реле замикаються і інтегруючий конденсатор C розряджається, переходячи, таким чином, у вихідний стан.

В момент внесення спіралі в полум'я горілки відбувається збудження іонів проби з випроміненням енергії у видимій частині світлового діапазону. Енергія випромінення через монохроматор δ потрапляє на ФЕП і перетворюється на електричні сигнали, які поступають далі на підсилювач P_1 , детектор D і на операційний підсилювач P_2 , де інтегруючий конденсатор C заряджається до величини пропорціональної кількості збуджених іонів. Напруга конденсатора вимірюється і реєструється самописцем C_1 ($H=37$).

Результати вимірювання електролітного складу ізольованих нейtronів виноградного слимака

$D_{ср.}$ нейтронів ($\mu\text{кл}$)	$V_{ср.}$ нейтронів (мкм^3) $\cdot 10^5$	Вміст речовини (z) $\cdot 10^{-10}$			Концентрація (ммоль)		
		K+	Na+	Ca++	K+	Na+	Ca++
2	100	5,23	21,5	1,85	4,2	132,0	19,4
	115	8,0	28,3	2,1	2,0	122,0	11,4
	120	9,1	44,0	4,5	7,0	124,0	21,6
	140	14,3	64,0	3,5	9,3	115,0	10,7
	192	36,7	89,0	5,9	13,0	62,2	7,0
	200	41,8	137,0	11,8	16,5	84,0	12,4
	240	72,0	270,0	11	33,0	96,0	6,7
Середні значення концентрацій:						105,03	12,74
						14,54	

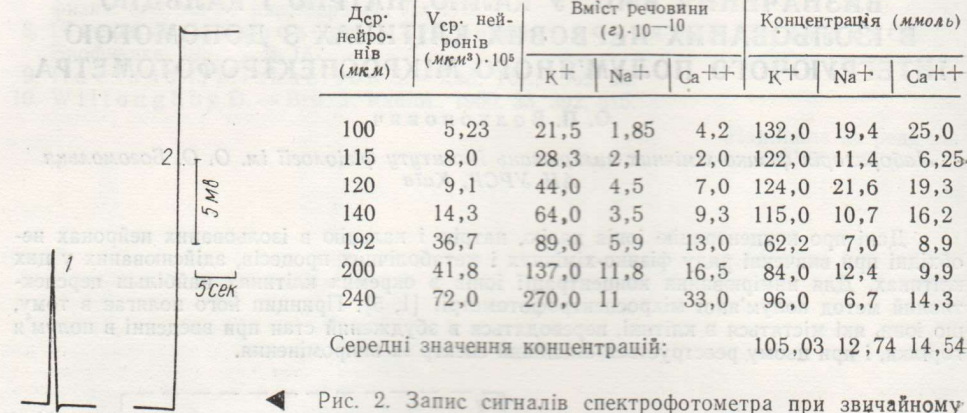


Рис. 2. Запис сигналів спектрофотометра при звичайному підсиленні (1) та при інтегруванні (2).

Перевага режиму інтегрування сигналу перед звичайним підсиленням добре видна при порівнянні записів сигналів (рис. 2) тієї самої проби ($0,20 \mu\text{кл}$ стандартного розчину хлористого натрію в концентрації 1 ммоль) в обох режимах. При введенні в полум'я ізольованої клітини сигнал має таку ж форму, як і на рис. 2.

Ізоляція нейронів гангліїв виноградних слимаків здійснювалась за методами, описаними раніше [2, 3]. У клітін, відібраних для вимірювання концентрації іонів, визначали діаметр у трьох-четирьох різних напрямках для обчислення їх об'ємів. Для видалення решток розчину Рінгера з поверхні клітин їх промивали в ізотонічному розчині сахарози, очищенному від іонів калію, натрію і кальцію. З допомогою мікропіпетки і мікроманіпулятора клітини поміщали на спеціальні спіралі з іридієвого дроту і вносили в полум'я горілки спектрофотометра.

Для ілюстрації в таблиці наведені результати дослідження електролітного складу кількох ізольованих нейронів.

Література

1. Каулин А. Б.— Цитология, 1966, 8, 1, 130.
2. Костенко М. — Цитология, 1972, 14, 10, 1274.
3. Костенко М. А., Вепринцев Б. Н.— В сб.: Биофизика живой клетки, Пущино, 1972, 3, 132.
4. Можаев Г. А., Волхонович О. П.— Фізіол. журн. АН УРСР, 1974, 20, 3, 402.
5. Giacobini E., Novmak S., Kometian Z.— Acta physiol. scand., 1967, 71, 391.

Надійшла до редакції
7.I 1975 р.